

Electrostatic interaction of a charged dielectric sphere with a flat charged boundary of homogeneous dielectrics

A.V. Filippov^{a,b,1}

^aJIHT RAS, Moscow, Russia

^bSRC RF TRINITI, Troitsk, Moscow, Russia



Scientific-Coordination Workshop on

Non-Ideal Plasma Physics

December 9-10, 2021, Moscow, Russia

December 9-10, 2021,
Moscow, Russia

¹fav@triniti.ru

План

- 1 Введение
- 2 Бисферическая система координат
- 3 Предел $a_1 \rightarrow \infty$
- 4 Результаты расчетов
- 5 Выводы

Актуальность задачи:

- Описание процесса взаимодействия наночастиц со стенкой в технологиях производства наночастиц с уникальными свойствами и в технологии нанесения нанослоев;
- Калибровка атомных силовых микроскопов и точное выделение ван-дер-ваальсовского взаимодействия на малых расстояниях;
- Изучение адгезии заряженных частиц тонера к пластине;
- Моделирование процесса удаления мелких пылевых частиц из воздуха и т.д.

$$F_{ps} = \frac{q_1 q_2}{\varepsilon R^2} - \frac{q_2^2}{\varepsilon R^2} \sum_{n=1}^{\infty} \frac{n(n+1)(\varepsilon_1 - \varepsilon)}{\varepsilon_1 n + \varepsilon(n+1)} \left(\frac{a_1}{R}\right)^{2n+1} \quad (1)$$

$$F_{ps} = \frac{q_1 q_2}{\varepsilon R^2} - \frac{q_2^2}{\varepsilon} \left(\frac{a_1}{R}\right)^3 \frac{1}{R^2 - a_1^2} \frac{1}{\varepsilon_1 + \varepsilon} \times \left[\frac{R^2}{R^2 - a_1^2} (\varepsilon_1 - \varepsilon) + \frac{\varepsilon_1}{\varepsilon_1 + \varepsilon} \right] - \delta f_{ps},$$

где поправка δf_{ps} определена выражением:

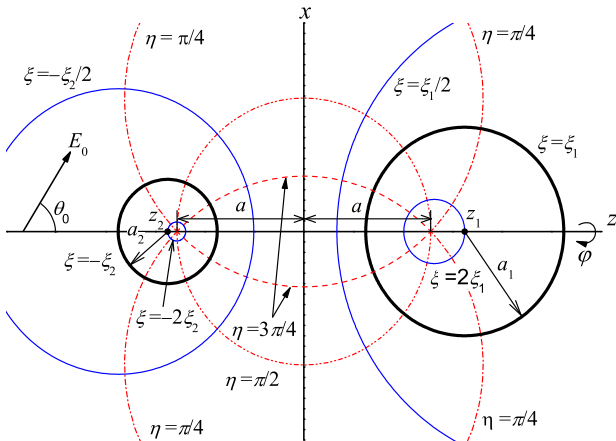
$$\delta f_{ps} = \frac{q_2^2}{\varepsilon R^2} \sum_{n=1}^{\infty} f_n \left(\frac{a_1}{R}\right)^{2n+1}$$

$$f_n = \frac{n(n+1)(\varepsilon_1 - \varepsilon)}{\varepsilon_1 n + \varepsilon(n+1)} - \frac{1}{\varepsilon_1 + \varepsilon} \left[(\varepsilon_1 - \varepsilon) n + \frac{\varepsilon_1}{\varepsilon_1 + \varepsilon} \right]$$

$$F_{pp} = \frac{4\pi\sigma_1 q_2}{\varepsilon} - \frac{q_2^2}{4\varepsilon(L + a_2)^2} \frac{\varepsilon_1 - \varepsilon}{\varepsilon_1 + \varepsilon}, \quad (2)$$

Бисферическая система координат

$$x = \frac{a \sin \eta \cos \varphi}{\operatorname{ch} \xi - \cos \eta}, \quad y = \frac{a \sin \eta \sin \varphi}{\operatorname{ch} \xi - \cos \eta}, \quad z = \frac{a \operatorname{sh} \xi}{\operatorname{ch} \xi - \cos \eta}$$



В бисферических координатах поверхности макрочастиц определяются соотношениями $\zeta = \zeta_1$, $\bar{\zeta} = -\zeta_2$,

$$\operatorname{ch} \zeta_1 = \frac{R^2 + a_1^2 - a_2^2}{2Ra_1}, \quad \operatorname{ch} \zeta_2 = \frac{R^2 + a_2^2 - a_1^2}{2Ra_2}$$

Электростатическое взаимодействие частиц в однородном диэлектрике определяется уравнением Лапласа $\Delta\phi = 0$, которое в бисферических координатах может быть решено методом разделения переменных введением новой величины

$$\phi(\zeta, \eta, \varphi) = \psi(\zeta, \eta, \varphi) \sqrt{\operatorname{ch} \zeta - \cos \eta}$$

Рассматриваем аксиально-симметричную задачу.

$$\phi(\zeta, \eta) = \sqrt{\operatorname{ch} \zeta - \cos \eta} \sum_{\ell=0}^{\infty} \left[C_{\ell} e^{-(\ell+1/2)\zeta} + D_{\ell} e^{(\ell+1/2)\zeta} \right] P_{\ell}(\cos \eta)$$

Потенциал однородного внешнего электрического поля:

$$\phi_0 = -E_{0x} \frac{a \sin \eta \cos \varphi}{\operatorname{ch} \xi - \cos \eta} - E_{0z} \frac{a \operatorname{sh} \xi}{\operatorname{ch} \xi - \cos \eta}$$

$$\begin{aligned} \phi_0 = & -\sqrt{2} a E_{0z} \operatorname{sign}(\xi) \sqrt{\operatorname{ch} \xi - \cos \eta} \sum_{l=0}^{\infty} (2l+1) e^{-(l+\frac{1}{2})|\xi|} P_l(\cos \eta) - \\ & - 2\sqrt{2} a E_{0x} \sqrt{\operatorname{ch} \xi - \cos \eta} \sum_{l=1}^{\infty} e^{-(l+\frac{1}{2})|\xi|} P_l^1(\cos \eta) \cos \varphi. \end{aligned}$$

Граничные условия:

$$\phi \Big|_{\xi=\xi_1-0} = \phi \Big|_{\xi=\xi_1+0}, \quad \phi \Big|_{\xi=-\xi_2-0} = \phi \Big|_{\xi=-\xi_2+0},$$

$$\varepsilon \frac{1}{h_\xi} \frac{\partial \phi}{\partial \xi} \Big|_{\xi=\xi_1-0} - \varepsilon_1 \frac{1}{h_\xi} \frac{\partial \phi}{\partial \xi} \Big|_{\xi=\xi_1+0} = 4\pi\sigma_1,$$

$$\varepsilon_2 \frac{1}{h_\xi} \frac{\partial \phi}{\partial \xi} \Big|_{\xi=-\xi_2-0} - \varepsilon \frac{1}{h_\xi} \frac{\partial \phi}{\partial \xi} \Big|_{\xi=-\xi_2+0} = 4\pi\sigma_2.$$

Решение аксиально-симметричной задачи при $E_0 = 0$

$$\begin{aligned}
 & -l e^{-\zeta_1} D_{l-1} + [-\tau_1 \operatorname{sh} \zeta_1 + (2l+1) \operatorname{ch} \zeta_1] D_l - (l+1) e^{\zeta_1} D_{l+1} = \\
 & = \frac{2\sqrt{2} \operatorname{sh} \zeta_1}{\varepsilon + \varepsilon_1} \frac{q_1}{a_1} e^{-(2l+1)\zeta_1} + \tau_1 \{ l e^{\zeta_1} C_{l-1} + [\operatorname{sh} \zeta_1 - (2l+1) \operatorname{ch} \zeta_1] C_l + \\
 & \quad + (l+1) e^{-\zeta_1} C_{l+1} \} e^{-(2l+1)\zeta_1},
 \end{aligned}$$

$$\begin{aligned}
 & -l e^{-\zeta_2} C_{l-1} + [-\tau_2 \operatorname{sh} \zeta_2 + (2l+1) \operatorname{ch} \zeta_2] C_l - (l+1) e^{\zeta_2} C_{l+1} = \\
 & = \frac{2\sqrt{2} \operatorname{sh} \zeta_2}{\varepsilon + \varepsilon_2} \frac{q_2}{a_2} e^{-(2l+1)\zeta_2} + \tau_2 \{ l e^{\zeta_2} D_{l-1} + [\operatorname{sh} \zeta_2 - (2l+1) \operatorname{ch} \zeta_2] D_l + \\
 & \quad + (l+1) e^{-\zeta_2} D_{l+1} \} e^{-(2l+1)\zeta_2}.
 \end{aligned}$$

$$\tau_1 = \frac{\varepsilon_1 - \varepsilon}{\varepsilon_1 + \varepsilon}, \quad \tau_2 = \frac{\varepsilon_2 - \varepsilon}{\varepsilon_2 + \varepsilon}$$

Распределение свободных поверхностных зарядов

$$\sigma_i(\theta_i) = \sum_{n=0}^{\infty} \sigma_{i,n} P_n(\cos \theta_i), \quad i = 1, 2.$$

Здесь θ_i – широта точки поверхности i -ой частицы в сферической системе координат с полюсом в ее центре.

Разложение этого распределения по полиномам Лежандра в бисферической системе координат:

$$\sigma_i(\eta) = \sqrt{\operatorname{ch} \xi_i - \cos \eta} \sum_{l=0}^{\infty} \tilde{\sigma}_{i,l} e^{-(l+\frac{1}{2})|\xi_i|} P_l(\cos \eta), \quad i = 1, 2.$$

где

$$\tilde{\sigma}_{i,l} = \sum_{n=0}^{\infty} b_{i,l}^n \sigma_{i,n}.$$

$$b_{i,l}^n = \sqrt{2} e^{-n\xi_i} \sum_{\nu=0}^{\min(l,n)} (-1)^{n+\nu} e^{2\nu\xi_i} \frac{(l+n-\nu)!}{\nu! (n-\nu)! (l-\nu)!}.$$

Выражение для силы

$$F_{1z} = \frac{\varepsilon}{2} \sum_{\ell=0}^{\infty} D_{\ell} [(2\ell + 1) C_{\ell} - \ell C_{\ell-1} - (\ell + 1) C_{\ell+1}].$$

Случай $\varepsilon_2 = \varepsilon$.

В этом случае $\tau_2 = 0$ и для C_{ℓ} получаем

$$\begin{aligned} -\ell e^{-\tilde{\zeta}_2} C_{\ell-1} + (2\ell + 1) \operatorname{ch} \tilde{\zeta}_2 C_{\ell} - (\ell + 1) e^{\tilde{\zeta}_2} C_{\ell+1} \\ = \frac{2\sqrt{2}q_2}{a_2(\varepsilon + \varepsilon_2)} \operatorname{sh} \tilde{\zeta}_2 e^{-(2\ell+1)\tilde{\zeta}_2}. \end{aligned}$$

Решение этого уравнения имеет вид:

$$C_{\ell} = \frac{\sqrt{2} q_2}{\varepsilon a_2} e^{-(2\ell+1)\tilde{\zeta}_2}.$$

Используя это решение, для D_ℓ получаем уравнение

$$\begin{aligned}
 & -\ell e^{-\xi_1} D_{\ell-1} + [-\tau_1 \operatorname{sh} \xi_1 + (2\ell + 1) \operatorname{ch} \xi_1] D_\ell - (\ell + 1) e^{\xi_1} D_{\ell+1} = \\
 & = 8\pi\sqrt{2} \frac{\sigma_1 a_1 \operatorname{sh} \xi_1}{\varepsilon + \varepsilon_1} - \frac{2\sqrt{2}q_2}{a_2 (\varepsilon + \varepsilon_2)} \tau_1 e^{-(2\ell+1)(\xi_1+\xi_2)} \times \\
 & \times [\ell e^{\xi_1} e^{2(\xi_1+\xi_2)} + \operatorname{sh} \xi_1 - (2\ell + 1) \operatorname{ch} \xi_1 - (\ell + 1) e^{\xi_1} e^{-2(\xi_1+\xi_2)}]
 \end{aligned}$$

При достаточно больших $\ell > \ell_{\min}$ это уравнение приобретает вид:

$$\begin{aligned} \ell e^{-\xi_1} D_{\ell-1} + [-\tau_1 \operatorname{sh} \xi_1 + (2\ell + 1) \operatorname{ch} \xi_1] D_{\ell-1} - \\ - (\ell + 1) e^{\xi_1} D_{\ell+1} = \frac{2\sqrt{2}q_1}{a_1 (\varepsilon + \varepsilon_1)} \operatorname{sh} \xi_1 e^{-(2\ell+1)\xi_1}. \end{aligned}$$

Значение ℓ_{\min} определяется точностью вычисления силы взаимодействия. В настоящей работе значение ℓ_{\min} определялось из выражения:

$$\ell_{\min} \approx -\frac{1}{2} \ln \delta / (\xi_1 + \xi_2).$$

Решение полученного уравнения имеет вид, аналогичный решению для C_I :

$$D_{\ell} = \frac{\sqrt{2}}{\varepsilon} \frac{q_1}{a_1} e^{-(2\ell+1)\xi_1}.$$

Трудность решения при сильно отличных размерах шаров

Радиус малого шара $a_2 = 100$ нм, радиус большого $a_1 = 10^4 a_2$, расстояние между поверхностями $L = 0.1$ нм. В этом случае $\zeta_1 = 4.473 \times 10^{-6}$, а координата поверхности малого шара равна $\zeta_2 = 4.473 \times 10^{-2}$. При этом $l_{\min} \sim 1000$.

Решением для больших мультипольных моментов $l > l_{\min}$ как при $\varepsilon_2 = \varepsilon$, так и при $\varepsilon_1 = \varepsilon$ будут приведенные выше выражения для C_l и D_l . Анализ показывает, что эти решения будут справедливы при любых $\varepsilon_1, \varepsilon_2$ и для $\varepsilon l > l_{\min}$.

В случае $\varepsilon_1 = \varepsilon_2 = \varepsilon$ эти решения будут справедливы для всех l и для силы взаимодействия можно получить выражение:

$$F_{1z} = \frac{q_1 q_2}{\varepsilon a_1 a_2} \frac{\text{sh } \zeta_1 \text{ sh } \zeta_2}{\text{sh}^2 (\zeta_1 + \zeta_2)}.$$

Переход к пределу $a_1 \rightarrow \infty$

$$\lim_{a_1 \rightarrow \infty} \tilde{\zeta}_1 = 0, \quad \lim_{a_1 \rightarrow \infty} \operatorname{ch} \tilde{\zeta}_2 = 1 + \frac{L}{a_2},$$

При этом произведение $a_1 \operatorname{sh} \tilde{\zeta}_1 = a_2 \operatorname{sh} \tilde{\zeta}_2 \equiv a$ остается конечной величиной.

В пределе $a_1 \rightarrow \infty$ для D_ℓ

$$D_\ell^0 = \lim_{a_1 \rightarrow \infty} D_\ell = \frac{4\pi\sqrt{2}}{\varepsilon} \sigma_1 [a_1 - (2\ell + 1)a].$$

Поэтому введем новые коэффициенты:

$$d_\ell = D_\ell - D_\ell^0,$$

$$\begin{aligned} -\ell d_{\ell-1} + (2\ell + 1)d_\ell - (\ell + 1)d_{\ell+1} &= \\ &= \tau_1 [\ell C_{\ell-1} - (2\ell + 1)C_\ell + (\ell + 1)C_{\ell+1}] \end{aligned}$$

Из этого уравнения следует равенство

$$d_\ell = -\tau_1 C_\ell.$$

$$\begin{aligned}
& -\ell e^{-\tilde{\zeta}_2} (1 - \beta_{\ell-1}) C_{\ell-1} + \{ (1 - \tau_2) \operatorname{sh} \tilde{\zeta}_2 + \\
& \quad + (1 - \beta_\ell) [(2\ell + 1) \operatorname{ch} \tilde{\zeta}_2 - \operatorname{sh} \tilde{\zeta}_2] \} C_\ell - \\
& \quad - (\ell + 1) e^{\tilde{\zeta}_2} (1 - \beta_{\ell+1}) C_{\ell+1} = \\
& \quad = e^{-(2\ell+1)\tilde{\zeta}_2} \{ \alpha_1 \operatorname{sh} \tilde{\zeta}_2 + 2\alpha_2 \tau_2 \operatorname{sh} \tilde{\zeta}_2 \times \\
& \quad \quad \times [(2\ell + 1) \operatorname{sh} \tilde{\zeta}_2 - \operatorname{ch} \tilde{\zeta}_2] \},
\end{aligned}$$

где введены обозначения:

$$\beta_\ell = \tau_1 \tau_2 e^{-(2\ell+1)\tilde{\zeta}_2}, \quad \alpha_1 = \frac{2\sqrt{2} q_2}{\varepsilon + \varepsilon_2 a_2}, \quad \alpha_2 = \frac{4\pi\sqrt{2}}{\varepsilon} a_2 \sigma_1.$$

При больших ℓ , когда становятся пренебрежимо малыми β_ℓ и ими можно пренебречь. Решение будем искать в виде

$C_\ell = (\alpha + \beta_\ell) e^{-(2\ell+1)\tilde{\zeta}_2}$, где α и β – независимые от ℓ величины. В итоге находим следующее решение уравнения для C_l :

$$C_\ell = \left\{ \frac{\sqrt{2} q_2}{\varepsilon a_2} + \alpha_2 \frac{\varepsilon_2 - \varepsilon}{2\varepsilon + \varepsilon_2} [(2\ell + 1) \operatorname{sh} \tilde{\zeta}_2 - \operatorname{ch} \tilde{\zeta}_2] \right\} e^{-(2\ell+1)\tilde{\zeta}_2}.$$

Сила через коэффициенты d_ℓ в рассматриваемом случае определяется выражением:

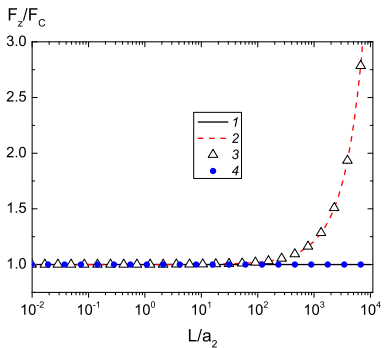
$$F_{z\infty} = \sum_{\ell=0}^{\infty} C_\ell [-\ell d_{\ell-1} + (2\ell + 1) d_\ell - (\ell + 1) d_{\ell+1} + \alpha_2 \operatorname{sh} \zeta_2].$$

Используя приближенное решение находим:

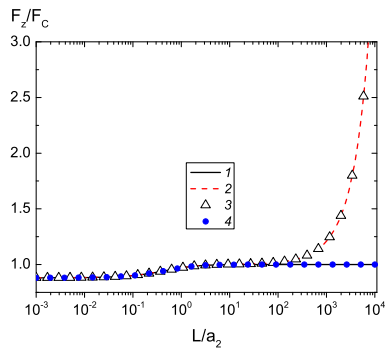
$$F_{z\infty}^a = \frac{4\pi\sigma_1 q_2}{\varepsilon} - \frac{1}{\varepsilon a_2^2 \operatorname{ch}^2 \zeta_2} \frac{\varepsilon_1 - \varepsilon}{\varepsilon + \varepsilon_1} \left[\frac{q_2^2}{4} - \frac{\varepsilon_2 - \varepsilon}{2\varepsilon + \varepsilon_2} \frac{2\pi q_2 \sigma_1 a_2^2}{\operatorname{ch} \zeta_2} + \left(\frac{\varepsilon_2 - \varepsilon}{2\varepsilon + \varepsilon_2} \right)^2 \frac{6\pi^2 \sigma_1^2 a_2^4}{\operatorname{ch}^2 \zeta_2} \right].$$

Подставим вместо $\operatorname{ch} \zeta_2$ его значение:

$$F_{z\infty}^a = \frac{4\pi\sigma_1 q_2}{\varepsilon} - \frac{\varepsilon_1 - \varepsilon}{\varepsilon + \varepsilon_1} \frac{1}{(L + a_2)^2} \frac{q_2^2}{4\varepsilon} + \frac{\varepsilon_1 - \varepsilon}{\varepsilon + \varepsilon_1} \frac{\varepsilon_2 - \varepsilon}{2\varepsilon + \varepsilon_2} \frac{2\pi\sigma_1 a_2^3}{\varepsilon(L + a_2)^3} \left[q_2 - \left(\frac{\varepsilon_2 - \varepsilon}{2\varepsilon + \varepsilon_2} \right) \frac{3\pi a_2^3 \sigma_1}{(L + a_2)} \right].$$



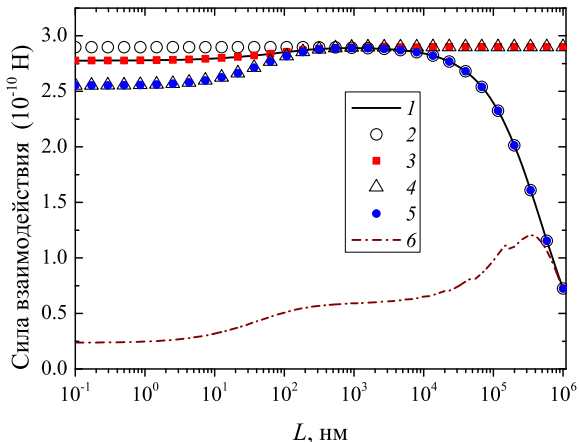
$$\varepsilon_1 = 1, \varepsilon_2 = 4$$



$$\varepsilon_1 = 4, \varepsilon_2 = 1$$

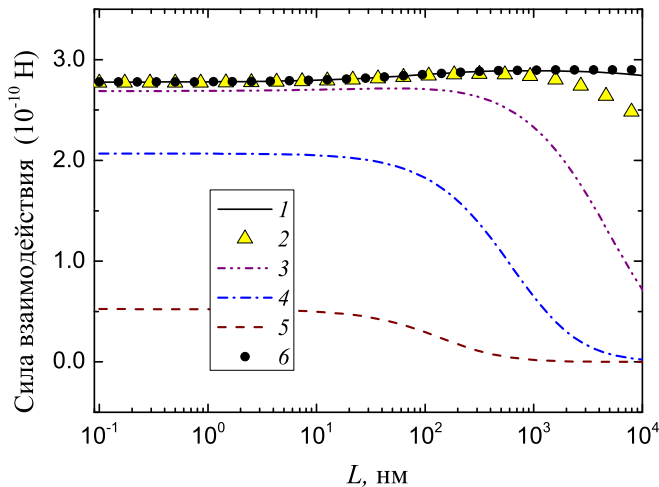
Кривая 1 - $a_1 = 10^4 a_2$, 2 - $a_1 = \infty$, 3 - F_{pp} , 4 - F_{ps}

$$\varepsilon_1 = \varepsilon_2 = 4$$

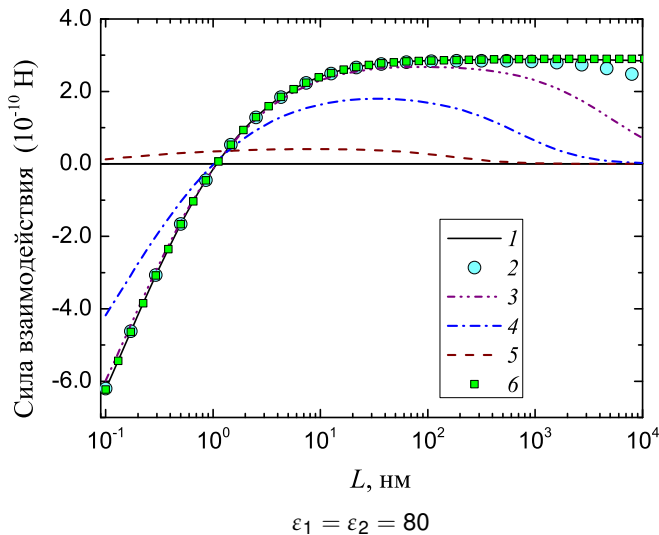


Кривая 1 – $a_1 = 10^4 a_2$, 2 – F_C , 3 – $a_1 = \infty$, 4 – F_{pp} , 5 – F_{ps} , 6 –
 $a_1 = 10^4 a_2$, $C_{\ell_{\min}} = D_{\ell_{\min}} = 0$, 7 – $a_1 = 10^4 a_2$, и $C_{\ell_{\min}} = 0$,

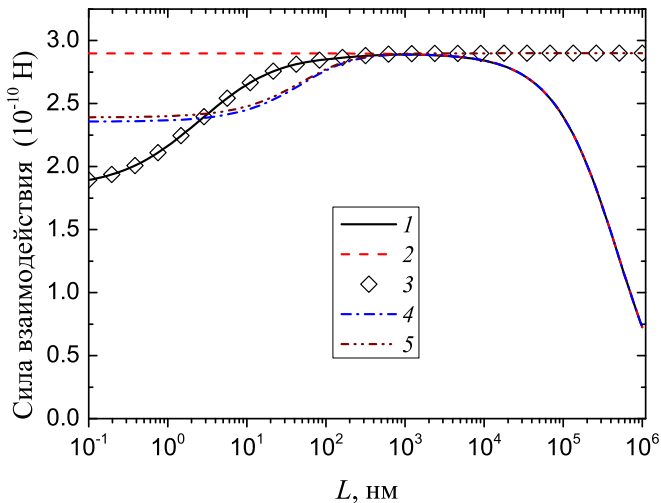
$$D_{\ell_{\min}} = \frac{4\pi\sqrt{2}a_1\sigma_1}{\varepsilon} e^{-(2\ell_{\min}+1)\zeta_1}$$



Кривая 1 – $a_1 = 10^4 a_2$, 2 – $a_1 = 10^3 a_2$, 3 – $a_1 = 10^2 a_2$, 4 –
 $a_1 = 10 a_2$, 5 – $a_1 = a_2$, 6 – $F_{z\infty}$.

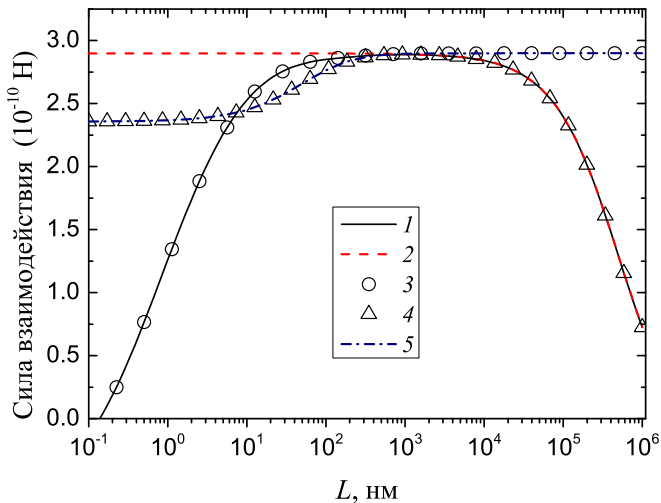


Кривая 1 – $a_1 = 10^4 a_2$, 2 – $a_1 = 10^3 a_2$, 3 – $a_1 = 10^2 a_2$, 4 –
 $a_1 = 10 a_2$, 5 – $a_1 = a_2$, 6 – $F_{z\infty}$.



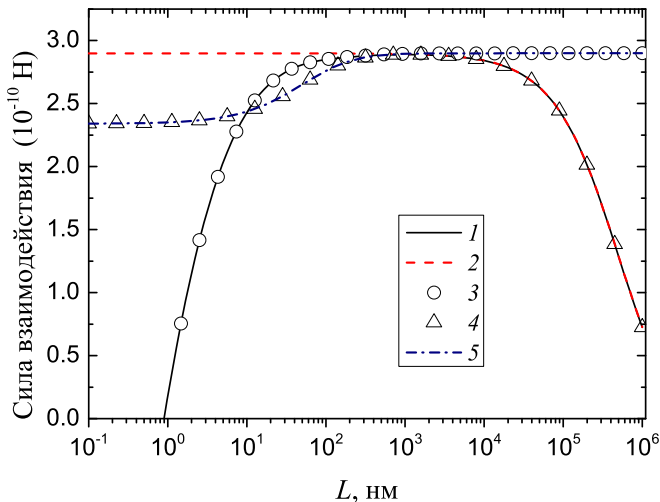
$$\varepsilon_1 = \varepsilon_2 = 16$$

Кривая 1 — $a_1 = 10^4 a_2$, 2 — F_C , 3 — $a_1 = \infty$, 4 — F_{pp} , 5 — F_{ps} .



$$\varepsilon_1 = \varepsilon_2 = 32$$

Кривая 1 — $a_1 = 10^4 a_2$, 2 — F_C , 3 — $a_1 = \infty$, 4 — F_{pp} , 5 — F_{ps} .



$$\varepsilon_1 = \varepsilon_2 = 64$$

Кривая 1 — $a_1 = 10^4 a_2$, 2 — F_C , 3 — $a_1 = \infty$, 4 — F_{pp} , 5 — F_{ps} .

Выводы

- В настоящей работе найдены ряд аналитических решений для коэффициентов разложения потенциала в бисферической системе координат для больших номеров мультипольного момента.
- Выполнен переход к бесконечному радиусу одного из шаров и впервые найдено аналитическое решение данной задачи.
- Найденное решение позволяет с высокой точностью рассчитать силу взаимодействия заряженной диэлектрической частицы сферической формы с частицей значительно большего радиуса или с плоской границей диэлектриков при расстояниях между их поверхностями в области 0.1-1 нм.
- Получено выражение для силы взаимодействия заряженного шара с плоской заряженной границей диэлектриков, которое описывает с высокой точностью силу при малых $\varepsilon_1 < 5$.

Спасибо за внимание